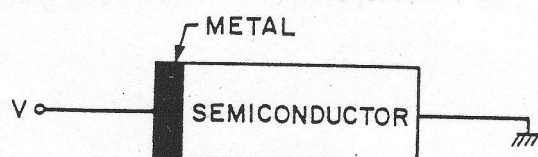
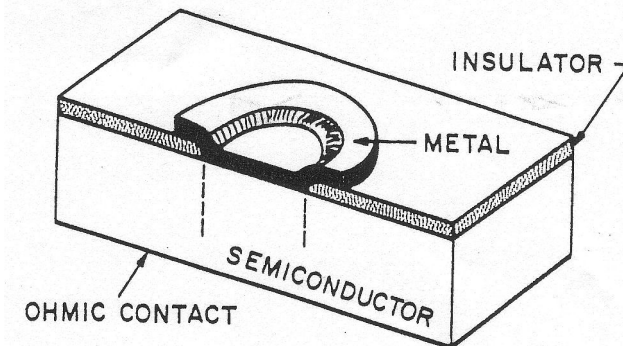


# Fém-félvezető kontaktus

Schottky (1938) – gát (barrier)

- potenciálgát az átmeneten  
⇒ egyenirányítási jelleg
- nem egyenirányító ⇒ ohmos fém-félvezető kontaktus



Fém és tőle elszigetelt  $n$  – típusú félvezető sávdiagramja **nem-egyensúlyi** állapotban

$q\Phi_m$  - fém kilépési munkája

$q\Phi_s$  - félvezető kilépési munkája

közvetlen kontaktus (fém-félvezető) **termikus** egyensúlyban

$q\chi$  - elektron affinitás

Töltés eloszlás a fém-félvezető átmenetén

Az elektromos tér eloszlása a (félvezető oldali) kiürített  $\equiv$  tértöltési rétegben

$\Phi_B$  - potenciálgát magassága a határfelületen ideális esetben

$n$  – típusú félvezető:

$$q\Phi_{Bn} = q(\Phi_m - \chi)$$

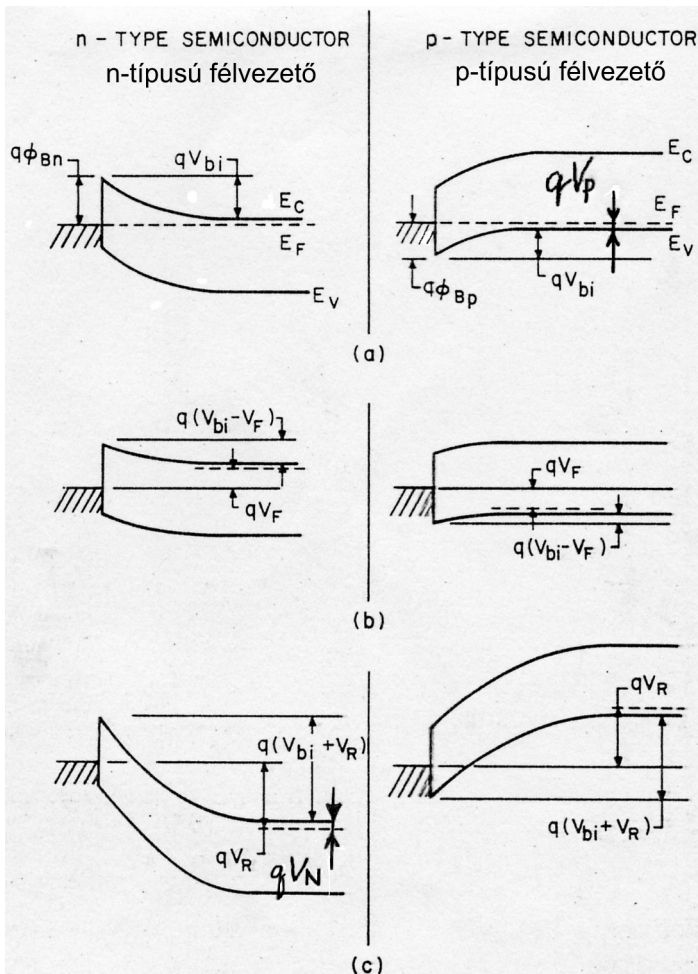
$p$  – típusú félvezető:

$$q\Phi_{Bp} = E_g - q(\Phi_m - \chi)$$

Adott félvezető esetén  $\Rightarrow [E_g = q(\Phi_{Bn} + \Phi_{Bp})]$  valamennyi fémre

# Fém-félvezető kontaktus (Schottky-dióda)

Fém-*n*-típusú félvezető, illetve fém-*p*-típusú félvezető kontaktus energia sávdiagramja



termikus egyensúlyban

nyitó irányú előfeszítésnél

záró irányú előfeszítésnél

A beépített potenciál értéke:

$$V_{bin} = \phi_{Bn} - V_n$$

$$V_{bip} = \phi_{Bp} - V_p$$

**Abrupt átmenet közelítéssel** (*n*-típusú félvezető esetén):  $\rho_s \cong qN_D$

Ha  $x < W$ , akkor  $\rho_s = 0$ , ha  $x > W$ , akkor  $d\psi/dx = 0$

$$W = \sqrt{\frac{2\epsilon_s}{qN_D}(V_{bi} - V)} \quad |\mathcal{E}_n(x)| = \frac{qN_D}{\epsilon_s}(W - x) = \mathcal{E}_m - \frac{qN_D}{\epsilon_s}x$$

$$\psi(x) = \frac{qN_D}{\epsilon_s} \left( Wx - \frac{1}{2}x^2 \right) - \phi_{Bn}$$

## Fém-félvezető kontaktus (Schottky-dióda)

Az elektromos mező tériterőségének maximális értéke:

$$\mathcal{E}_m = \mathcal{E}(x=0) = \sqrt{\frac{2qN_D}{\epsilon_s} (V_{bi} - V)} = \frac{2(V_{bi} - V)}{W}$$

Tértöltés (space charge):  $Q_{sc} = qN_D W = \sqrt{2q\epsilon_s N_D (V_{bi} - V)}$  [C/cm<sup>2</sup>]

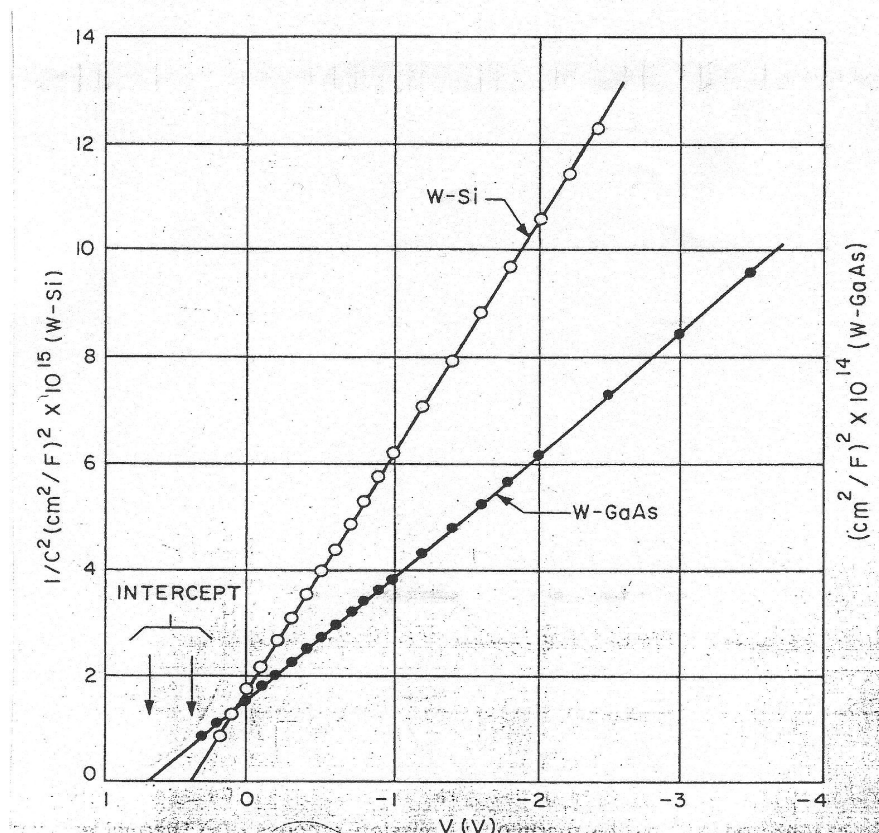
Tértöltés réteg kapacitás:  $C = \left| \frac{\partial Q_{sc}}{\partial V} \right| = \sqrt{\frac{q\epsilon_s N_D}{2(V_{bi} - V)}} = \frac{\epsilon_s}{W}$  [F/cm<sup>2</sup>]

$$\frac{1}{C^2} = \frac{2(V_{bi} - V)}{q\epsilon_s N_D} \quad \text{vagy} \quad \frac{-d(1/C^2)}{dV} = \frac{2}{q\epsilon_s N_D}$$

Ebből meghatározzuk az adalékkoncentráció szintet:

$$N_D = \frac{2}{q\epsilon_s} \left[ \frac{-1}{d(1/C^2) dV} \right].$$

$N_D = \text{const}$  az egész kiürített tartományban.



$x$  – tengelymetszet

$1/C^2 = 0$ -nál kiadja

$V_{bi}$  értékét

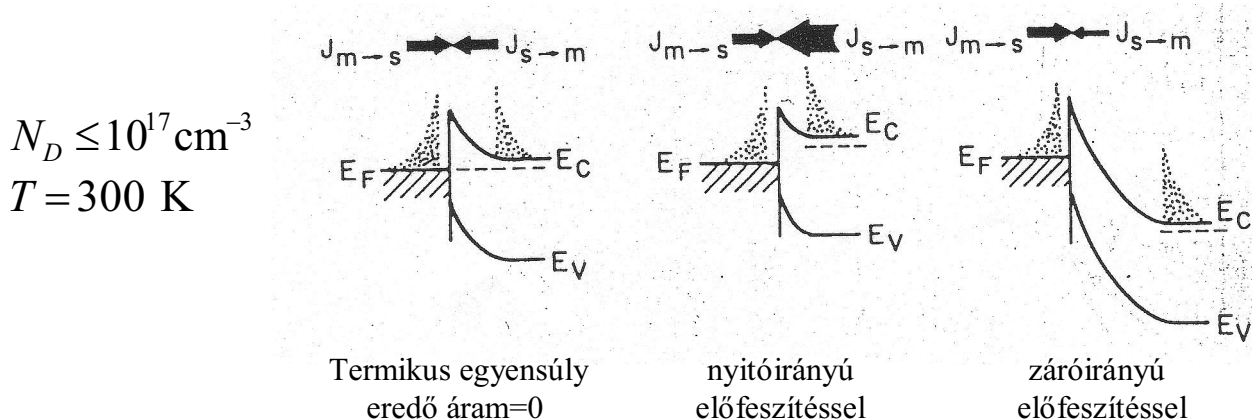


$$\Phi_{Bn} = V_{bi} + V_n$$

potenciálgát  
meghatározása  
Shottky-diódán

# Shottky-dióda áram-feszültség karakterisztikája

Áramtranszport termikus emisszióval: **döntően többségi töltéshordozó** (ellen-tétben a  $p - n$  átmenettel, ahol döntően a kisebbségi töltéshordozó) számít.



A félvezető felületén az **elektronkoncentráció**:

$$n_s = N_D \left( -\frac{qV_{bi}}{kT} \right) = N_D \exp \left( -\frac{q(\phi_{Bn} - V_n)}{kT} \right) = N_c \exp \left( -\frac{q\phi_{Bn}}{kT} \right),$$

ahol  $N_c$  állapotsűrűség a vezetési sávban.

**Áramsűrűség:**

$$\text{nyitó irányban: } J = J_{s \rightarrow m} - J_{m \rightarrow s} = C_1 N_c e^{-q\phi_{Bn}/kT} (e^{qV_F/kT} - 1),$$

$$\text{záró irányban: } J = J_{m \rightarrow s} - J_{s \rightarrow m} = C_1 N_c e^{-q\phi_{Bn}/kT} (e^{-qV_R/kT} - 1),$$

ahol  $C_1$  arányossági tényező. A gyakorlatból:  $C_1 N_c = A^* T^2$ .

Itt  $A^*$  az ún. **effektív Richardson-állandó** (mértékegysége [ $\text{A/cm}^2$ ]).

$n - \text{Si}$  esetén  $A^* = 110 \text{ A/cm}^2$ ,  $p - \text{Si}$  esetén  $A^* = 32 \text{ A/cm}^2$ .

$n - \text{GaAs}$  esetén  $A^* = 8 \text{ A/cm}^2$ ,  $p - \text{GaAs}$  esetén  $A^* = 74 \text{ A/cm}^2$ .

$$J = J_s (e^{qV/kT} - 1) \quad \begin{cases} V > 0 & \text{nyitó irányú} \\ V < 0 & \text{záró irányú} \end{cases} \quad \begin{cases} & \text{előfeszítésnél} \end{cases}$$

$$J_s \equiv A^* T^2 e^{-q\phi_{Bn}/kT} \quad \text{telítési áramsűrűség.}$$

A jelenlévő lyukinjekció nagyságrendekkel kisebb, mint az elektroninjekció, ezért elhanyagolható, így a **Schotky-dióda unipoláris eszköznek** tekinthető.

# Ohmos kontaktus

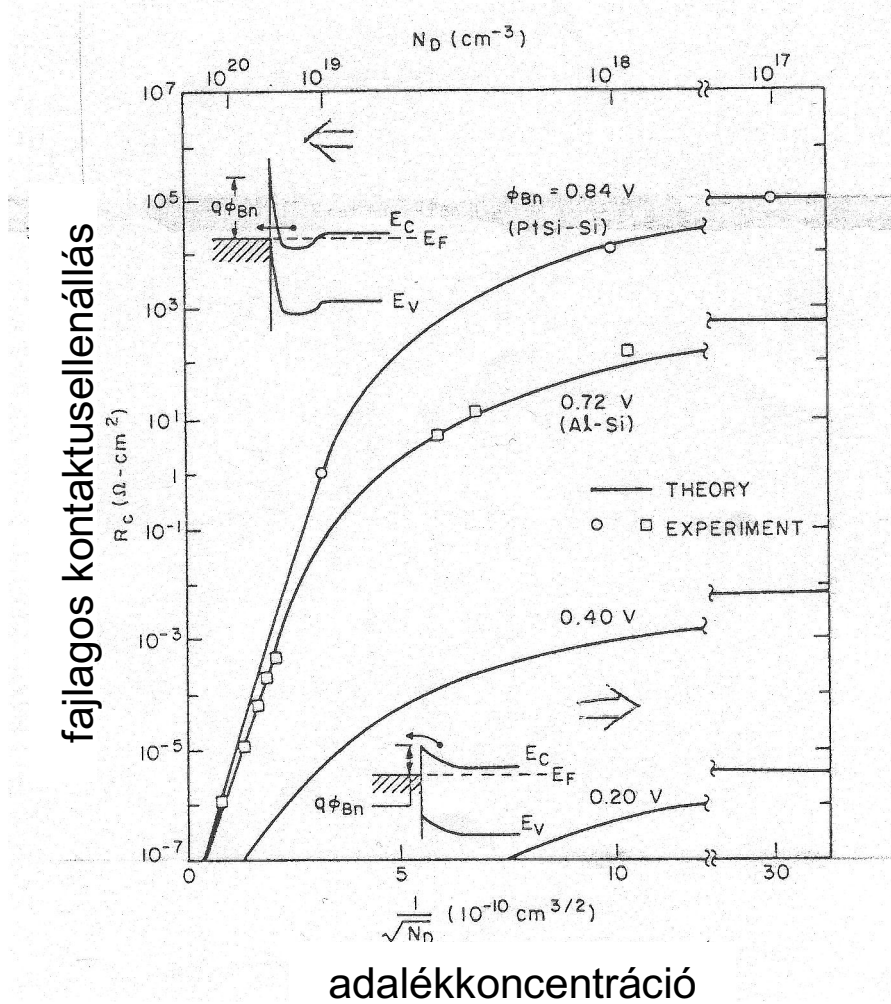
fém-félvezető kontaktus, mely elhanyagolhatóan kis ellenállással bír a félvezető tömbi vagy soros ellenállásához képest.

## Fajlagos kontaktusellenállás:

$$R_c \equiv \left( \frac{\partial J}{\partial V} \right)_{V=0}^{-1} [\Omega \cdot \text{cm}^2]$$

$$R_c = \frac{k}{qA^*T} \exp\left(\frac{q\phi_{Bn}}{kT}\right).$$

A  $\phi_{Bn}$  értéke minimalizálásával a kis  $R_c$  érdekében termikus emissziót az erősen adalékolt ( $N_D \geq 10^{19} \text{ cm}^{-3}$ ) félvezető felületén a potenciális gát vastagsága csökken.



Ilyenkor az „**alagútazás**” („**tunnelezés**”, tunneling) lehetősége áll fenn, melynek valószínűsége:

$$I \sim \exp\left(\frac{-C_2(\phi_{Bn} - V)}{\sqrt{N_D}}\right),$$

$$C_2 = 2 \sqrt{m_n \epsilon_s} / \hbar .$$

A kontaktusban az alagútáram dominál.

A kontaktusellenállás magas adalékolásnál:

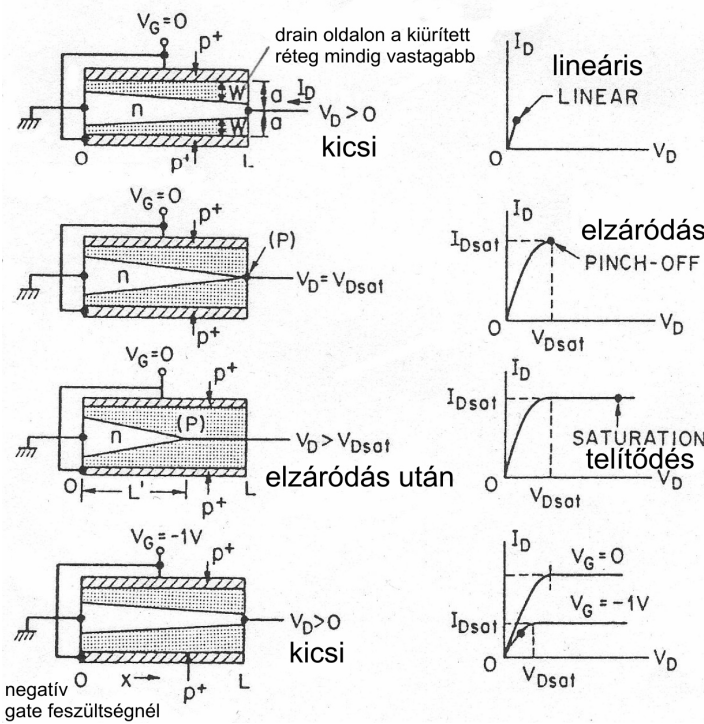
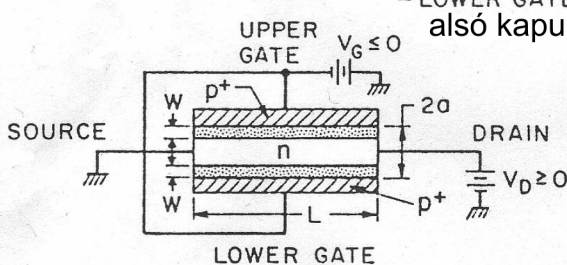
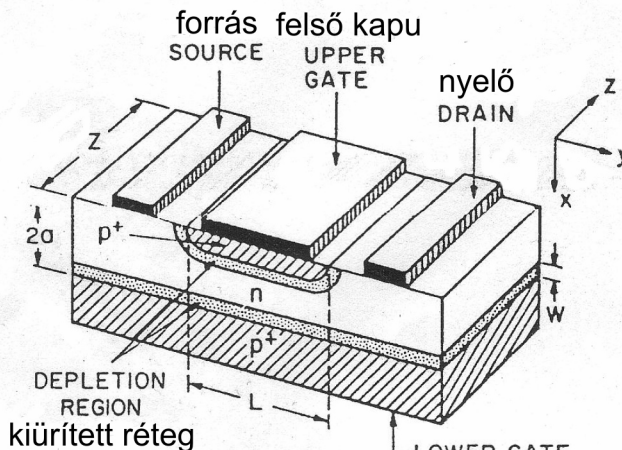
$$R_c \sim \exp\left(\frac{C_2 \phi_{Bn}}{\sqrt{N_D}}\right)$$

$N_D \geq 10^{19} \text{ cm}^{-3}$ -nál az **alagútemisszió** dominál.

$N_D < 10^{17} \text{ cm}^{-3}$ -nál a **termikus emisszió** a meghatározó (adalék független).

Gyakorlati szempont technológia-tervezésnél (ohmos kontaktus létrehozásánál)!!

# Zárórétegű térvezérlésű tranzisztor JFET (1952)



keresztmetszet

üzemmódok

Elzáródási pont a **source** felé mozog

$V_G$  csökkenti az elzáródáshoz szükséges drainfeszültséget

**Unipoláris eszköz**, mivel csak egyfajta töltéshordozók (a többségi) vesznek részt az áramvezetésben.

A két kapuelektróda potenciállal vezérelt kiürített rétegekkel határolt **vezető csatorna** a „forrás” és „nyelő” közt

$$V_S = 0, \quad V_D \geq 0, \quad V_G \leq 0$$

## Alapkapcsolás

(az áramfolyás keresztmetszet a csatorna közepén)

Csatorna hossz:  $L$

Csatorna szélesség:  $Z$

Csatorna vastagság:  $2a$

Csatorna ellenállás:  $R$

$$R = \rho \frac{L}{A} = \frac{L}{q\mu_n N_D A} = \frac{L}{2q\mu_n N_D Z(a-W)}$$

$$A = 2Z(a-W)$$

**Elzáródás** (a drain oldalon):  $W = a$

Abrupt közelítéssel:

$$V_G = 0$$

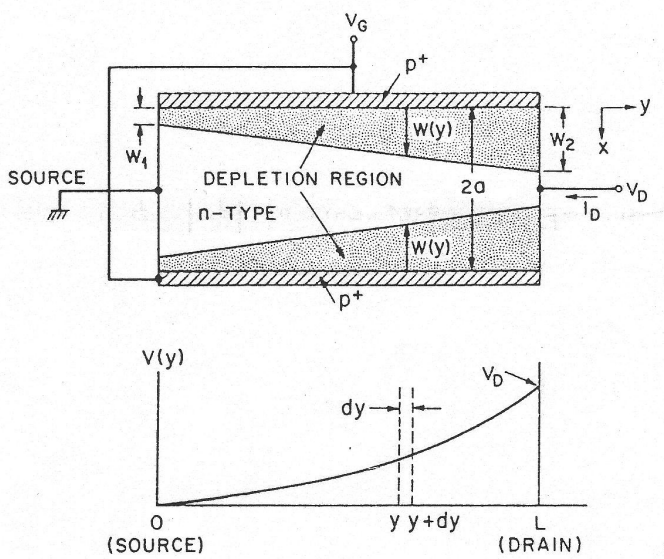
$$V_{Dsat} = \frac{qN_D a^2}{2\epsilon_s} - V_{bi}$$

$$V_G < 0$$

$$V_{Dsat} = \frac{qN_D a^2}{2\epsilon_s} - V_{bi} - V_G$$

$V_{bi}$  a gate átmenet beépített potenciálja.

# A JFET áram-feszültség karakterisztikái



$$V_P = V_D + V_G + V_{bi}, \text{ ahol } W_2 = a$$

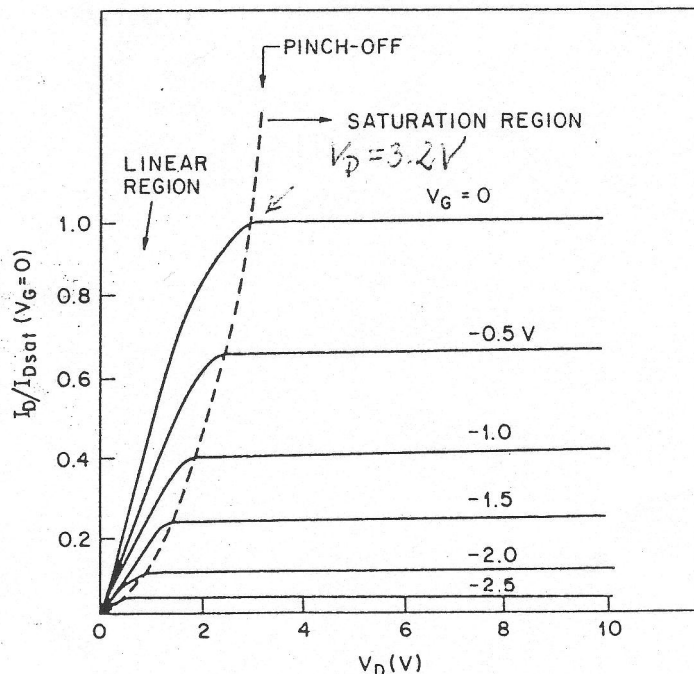
$$I_D = \frac{1}{L} \int_{W_1}^{W_2} 2q\mu_n N_D Z(a-W) \frac{qN_D}{\epsilon_s} W dW$$

$$I_D = I_p \left[ \frac{V_D}{V_P} - \frac{2}{3} \left( \frac{V_D + V_G + V_{bi}}{V_P} \right)^{3/2} + \frac{2}{3} \left( \frac{V_G + V_{bi}}{V_P} \right)^{3/2} \right]$$

$$I_p \equiv \frac{Z\mu_n q^2 N_D^2 a^3}{\epsilon_s L}$$

$$V_p \equiv \frac{qN_D a^2}{2\epsilon_s}$$

pinch off  
vagyis  
átszúrás



$$V_D \geq V_{Dsat}$$

Telítési tartomány

$$I_{Dsat} = I_D \left[ \frac{1}{3} - \left( \frac{V_G + V_{bi}}{V_P} \right) + \frac{2}{3} \left( \frac{V_G + V_{bi}}{V_P} \right)^{2/3} \right]$$

$$V_{Dsat} = V_P - V_G - V_{bi}$$

$$g_m = \frac{I_p}{V_P} \left[ 1 - \sqrt{\frac{V_G + V_{bi}}{V_P}} \right]$$

$V_D$  alacsony:  $0 \leq V_D \leq V_{Dsat}$   
( $V_D \ll V_G + V_{bi}$ )

Lineáris tartomány

$$I_D \approx \frac{I_p}{V_P} \left[ 1 - \sqrt{\frac{V_G + V_{bi}}{V_P}} \right] V_D$$

$$g_D \equiv \left. \frac{\partial I_D}{\partial V_D} \right|_{V_G = const}$$

Csatorna konduktancia:

$$g_D = \frac{I_p}{V_P} \left[ 1 - \sqrt{\frac{V_G + V_{bi}}{V_P}} \right]$$

Transzkonduktancia:

$$g_m \equiv \left. \frac{\partial I_D}{\partial V_G} \right|_{V_D = const}$$

$$g_m = \frac{I_p}{2V_P^2} \sqrt{\frac{V_P}{V_G + V_{bi}}} V_D$$

# JFET kisjelű helyettesítő kapcsolása

$$\tilde{i}_D + I_D(V_D, V_G) = I_D(V_D + \tilde{v}_D, V_G + \tilde{v}_G)$$

$$\tilde{i}_D = I_D(V_D + \tilde{v}_D, V_G + \tilde{v}_G) - I_D(V_D + V_G) \Rightarrow$$

$$\Rightarrow \tilde{i}_D = g_m \tilde{v}_D + g_m \tilde{v}_G = \left. \frac{\partial I_D}{\partial V_D} \right|_{V_G} \cdot \tilde{v}_D + \left. \frac{\partial I_D}{\partial V_G} \right|_{V_D} \tilde{v}_G$$

A gyakorlatban **soros source** és **drain ellenállással**: ( $R_S, R_D$ )

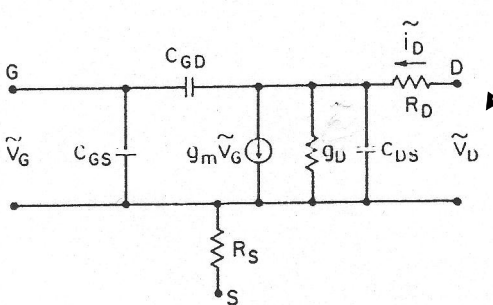
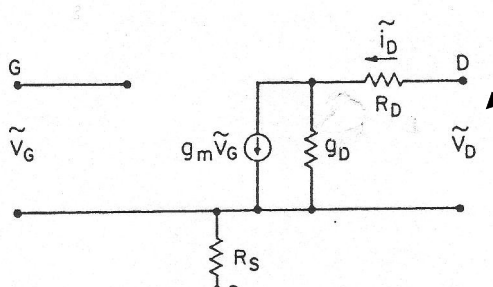
$$g'_m = \frac{g_m}{1 + R_S g_m + (R_S + R_D) g_D}$$

$$g'_D = \frac{g_D}{1 + R_S g_m + (R_S + R_D) g_D}$$

a konduktanciák értéke az ideálishez képest csökken!

## Kisjelű helyettesítő kép:

- baloldal nyitott  $\rightarrow$  JFET bemenő ellenállása  $\rightarrow \infty$



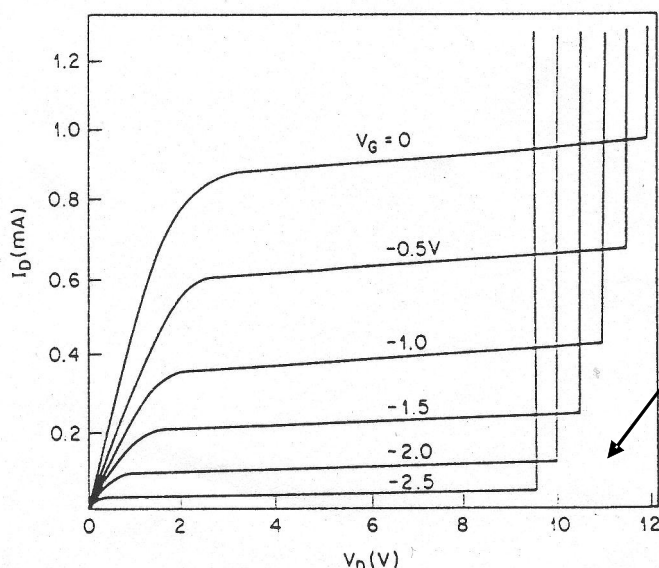
## Nagyfrekvenciás helyettesítő kép:

- átmenetek kapacitásai:  
 $C_{GS}, C_{GD}, C_{DS}$

**Levágási frekvencia** ( $C_G = C_{GS} + C_{GD}$ ):

$$f_T = \frac{g_m}{2\pi C_G} \leq \frac{I_p/V_p}{2\pi ZL\epsilon_s \mu_n}$$

$$f_T = \frac{2\mu_n q N_D a^2}{\pi \epsilon_s L^2}$$



Magas frekvenciás működéshez nagy töltéshordozó mozgékonyság és rövid csatornahossz szükséges.

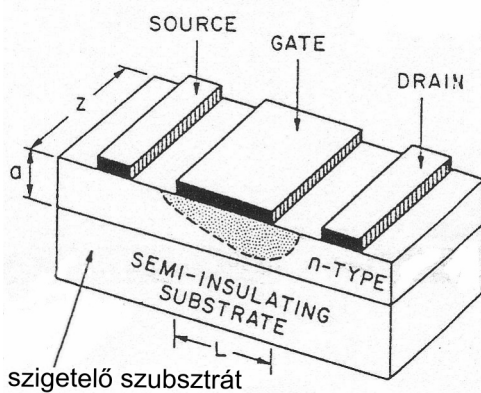
## Gyakorlati jelleggörbe

Csatorna konduktancia  $\rightarrow$  telítés

## Letörési feszültség:

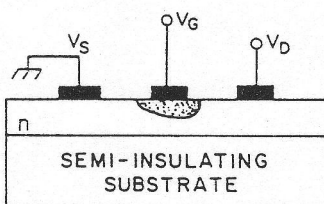
$$V_B = V_D + |V_G|$$

# Fém-félvezető térvezérlésű tranzisztor (MESFET)

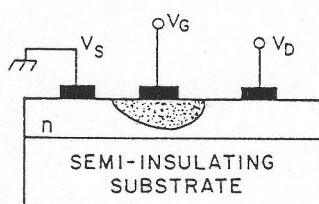


Működése analóg a JFET-tel  
Gate egy egyenirányító Shottky-kontaktus

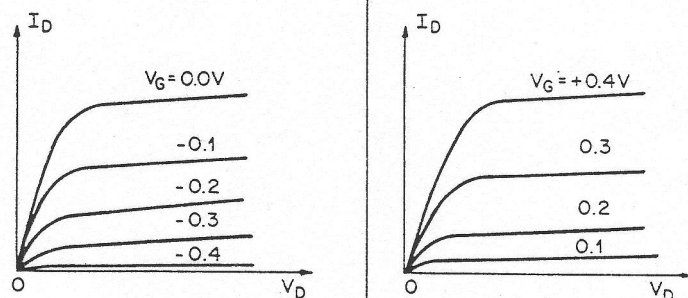
Alapállapotban nyitott (vezető)



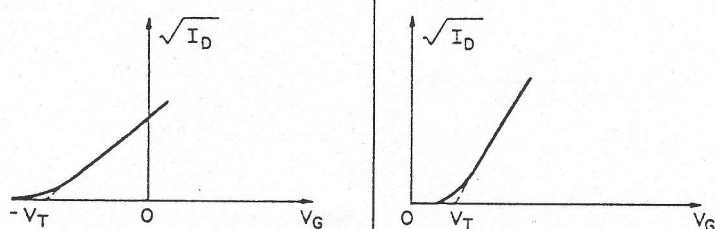
Alapállapotban lezárt



**MESFET**



**Kimeneti karakterisztikák**



kiürítéses

**Bemeneti karakterisztikák**

növekményes

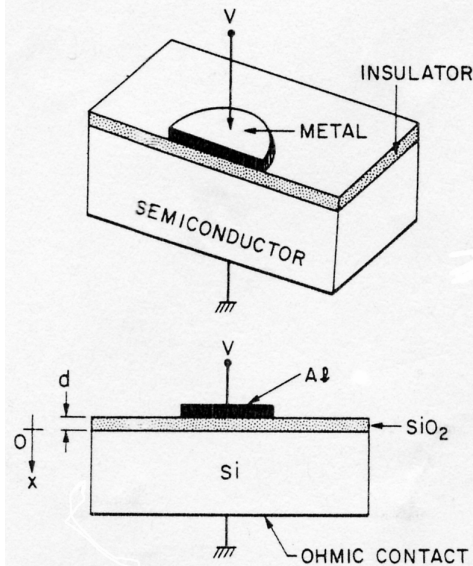
Többnyire III-V félvezetőn készül (**GaAs**)

- nagy elektron mozgékonyúság miatt kis soros ellenállásértékek ( $R_s$ ,  $R_D$ )
- magas telítési sebesség miatt nő az  $f_T$  !

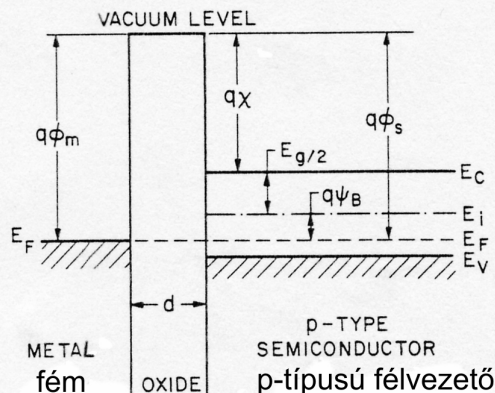
**Heteroátmenetes MESFET** – jobb vezérelhetőség, illetve csatorna konduktancia

# Fém-oxid-félvezető (MOS, MIS) dióda

## Felépítése



Ideális MOS dióda egyensúlyi (előfeszítés nélküli) sávdiagramja



Kilépési munka különbség egyensúlyban:

$$q\phi_{ms} \equiv (q\phi_m - q\phi_s) = q\phi_m - \left( q\chi + \frac{E_g}{2} + q\Psi_B \right),$$

ahol  $q\chi$  a félvezető elektron affinitása és  $q\Psi_B = E_i - E_F$ .

Flatband (előfeszítés nélküli), azaz síksáv állapot:

- egyenáramú előfeszítésnél nincs töltéstranszport az oxidon át,  $R_{oxid} \rightarrow \infty$ ;
- a MOS diódában bármilyen előfeszítésnél csak olyan töltések vannak, melyek a félvezetőben és az oxiddal szomszédos fém felületén vannak. Ezeknek a töltéseknek ellentétes az előjelük, de azonos az értékük.

**Ideális MOS diódában nem folyik áram!**

A félvezetőben az előfeszítéstől függetlenül **a Fermi-szint konstans érték!**

A lyukkoncentráció a  $p$ -típusú félvezetőben:

$$p_p = n_i \exp\left(\frac{E_i - E_F}{kT}\right).$$

# Ideális MOS dióda

$V < 0$ -nál

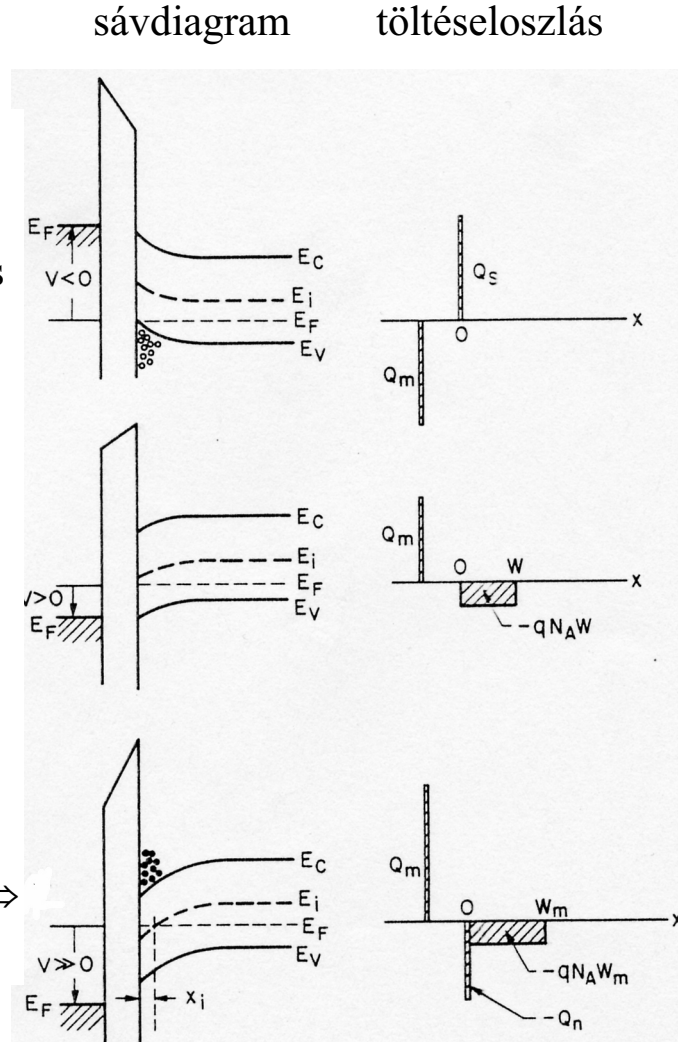
**sávfelhajlás**  $\Rightarrow$   
lyukfelhalmozódás  
a határfelületen

$V > 0$ -nál

**sávlehajlás**  $\Rightarrow$   
többségi lyukak  
kiürülése a  
határfelületen  
( $W$  vastagságban)

$V \gg 0$ -nál

**erős sávlehajlás**  $\Rightarrow$   
 $E_i$  keresztezi  $E_F$



**feldúsulás**  $\equiv$   
**akkumuláció**  
(többségi  
töltéshordozókra  
vonatkozik)

**kiürülés**  $\equiv$   
depletion  
tértöltés

$$Q_{sc} = -qN_A W$$

**inverzió**  
kisebbségi (inverz)  
töltéshordozó  
megjelenése a  
határfelületen  
(néhány 10 Å)

Elektronkoncentráció a  $p$ -típusú félvezetőben:

$$n_p = n_i \exp\left(\frac{E_F - E_i}{kT}\right)$$

Mivel inverzióban:  $E_F > E_i \Rightarrow n_p > n_i \Rightarrow p_p < n_i$

az  $x_i$  vastagságú inverz rétegen

Erős inverzióban: felületi kiürített réteg vastagsága  $W_m$ .

a tértöltés:  $Q_s = Q_n + Q_{sc}$

Az inverziós töltés leárnyékolja a fémelektróda terét, a kiürítés nem folytatódhat  $\Rightarrow W = W_m$  maximális kiürített réteg vastagság

$$Q_{sc} = -qN_A W_m$$

# A felületi (határfelületi) kiürített réteg

Elektron-, illetve lyukkoncentráció potenciálokkal kifejezve:

$$n_p = n_i \exp\left(\frac{q(\psi - \psi_B)}{kT}\right)$$

$$p_p = n_i \exp\left(\frac{q(\psi_B - \psi)}{kT}\right)$$

$\begin{cases} \psi > 0 & \text{ha sávelhajlás lefelé} \\ \psi < 0 & \text{ha sávelhajlás felfelé} \end{cases}$

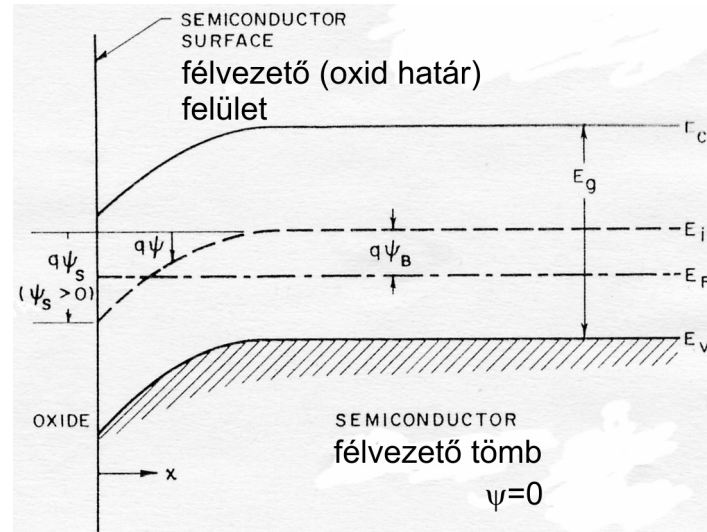
A félvezető felületén  $\psi = \psi_s$ . A  $\psi_s$  az ún. felületi potenciál.

A töltéshordozó sűrűség a félvezető felületén:

$$n_s = n_i \exp\left(\frac{q(\psi_s - \psi_B)}{kT}\right)$$

$$p_s = n_i \exp\left(\frac{q(\psi_B - \psi_s)}{kT}\right)$$

$$q\psi = E_i - E_{ix}$$



Sávdiagram inverziós állapotban

$\psi_s < 0$  lyukakkumuláció – sávelhajlás felfelé

$\psi_s = 0$  síkság, azaz flatband állapot

$\psi_B > \psi_s > 0$  lyukak kiürülése a felületen – sávelhajlás lefelé

$\psi_s = \psi_B$  sávközépen  $E_F = E_i \Rightarrow n_s = n_p = n_i$  inverzió kezdete

$\psi_s > \psi_B$  inverzió – a sávok erősen lehajlanak

Poisson-egyenlet:  $\frac{d^2\psi}{dx^2} = -\frac{\rho_s}{\epsilon_s}$ ,  $\rho_s(x)$  = teljes tértöltés sűrűség

Kiürítéses közelítéssel:  $\rho_s = -qN_A$ . Integrálva a Poisson-egyenletet, az elektrosztatikus potenciál eloszlás:

$$\psi = \psi_s \left(1 - \frac{x}{W}\right)^2$$

$$\psi_s = \frac{qN_A W^2}{2\epsilon_s}$$

ugyanaz, mint az abrupt  $p-n$  átmenet esetén volt ( $p^+ - n$ )

# A felületi inverzió

A felület inverzé válik, mikor  $\psi_s > \psi_B$ -nél.

Az inverziós töltések csak ún. erős inverzióban dominálnak:

$$\Rightarrow n_s = N_A, \quad N_A = n_i \exp\left(\frac{q\psi_B}{kT}\right)$$

erős inverzió kezdete:  $\psi_s(inv) \cong 2\psi_B = \frac{2kT}{q} \ln\left(\frac{N_A}{n_i}\right)$

maximális felületi kiürített réteg vastagság:  $W_m = \sqrt{\frac{2\epsilon_s \psi_s(inv)}{qN_A}}$

maximális tértöltés:  $Q_{sc} = -qN_A W_m \cong -\sqrt{2q\epsilon_s N_A(2\psi_B)}$

## Ideális MOS C-V görbék

$V > 0$  fém előfeszítéssel:

$$V = V_{ox} + \psi_s$$

$$V_{ox} = E_{ox}d = \frac{|Q_s|d}{\epsilon_{ox}} \equiv \frac{|Q_s|}{C_o}$$

$d$  - oxidvastagság;

$Q_s$  - félvezető töltéssűrűség;

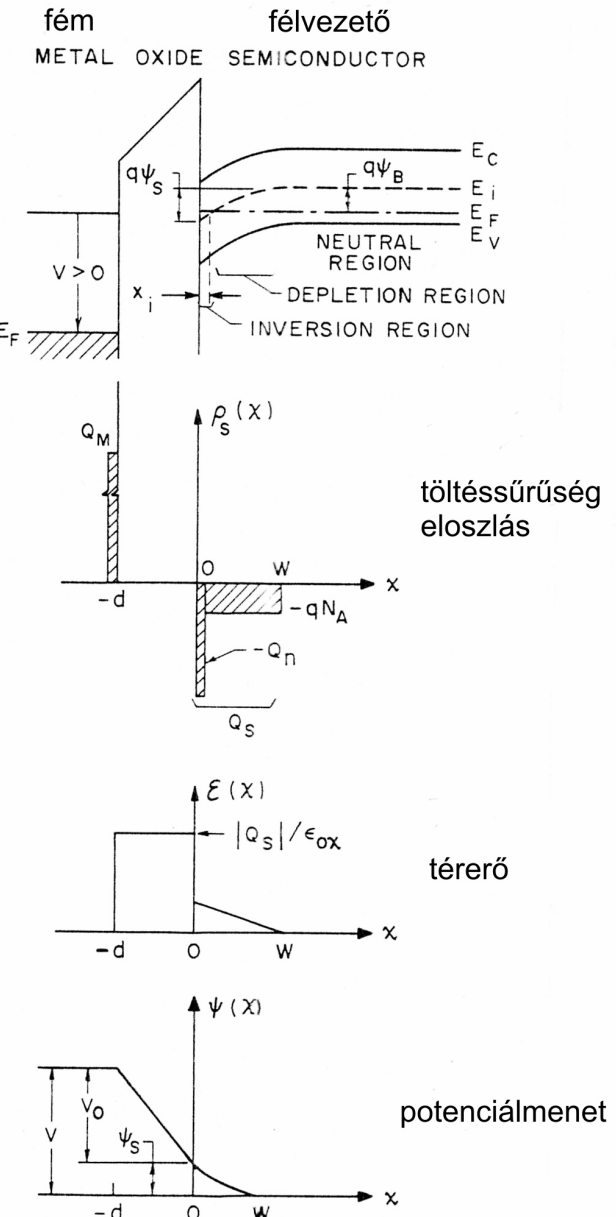
$C_{ox} = \epsilon_{ox}/d$  - oxidkapacitás egységnyi területen

**MOS kapacitás:** a  $C_{ox}$  és a  $C_j$  soros eredője

$$C = \frac{C_{ox}C_j}{C_{ox} + C_j}$$

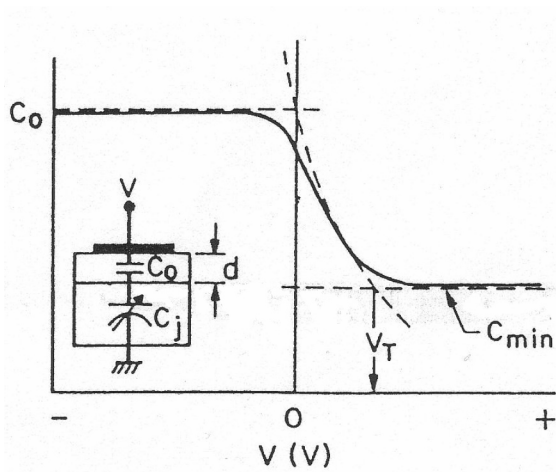
$$C_j = \frac{\epsilon_s}{W} \text{ (ideális } p-n \text{ átmenet)}$$

$$\frac{C}{C_{ox}} = \frac{1}{\sqrt{1 + \frac{2\epsilon_{ox}^2 V}{qN_A \epsilon_s d^2}}}$$

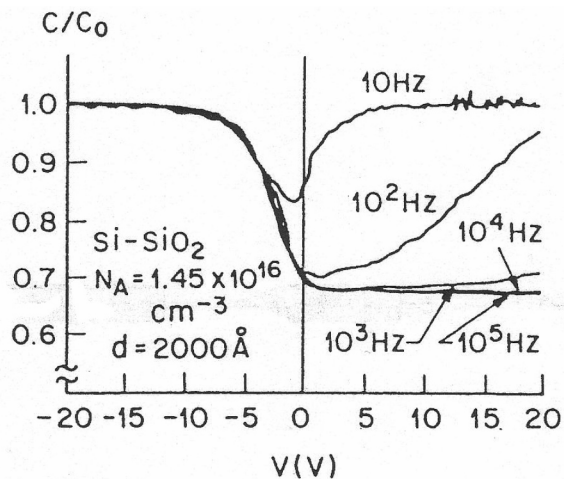


# Nagyfrekenciás C-V görbék

Ideális  $C - V$  görbe



Gyakorlati  $C - V$  görbék



Közelítő szegmensek (szaggatott egyenesek) a nagyfrekenciás  $C - V$  görbén

**Erős inverzió kezdete:**  $\psi_s \approx 2\psi_B$

$$V_T = \frac{qN_A W_m}{C_{ox}} + \psi_s (\text{inv}) \approx \frac{\sqrt{2\epsilon_s q N_A (2\psi_B)}}{C_{ox}} + 2\psi_B$$

$V_T$  - küszöbfeszültség (threshold voltage) =

Az erős inverzió feltétele a határfelületen beállító fémpont

Erős inverzióban (**árnyékolás**) a kapacitás nem változik:

$$C_{min} = \frac{\epsilon_{ox}}{d + (\epsilon_{ox}/\epsilon_s) \cdot W_m}$$

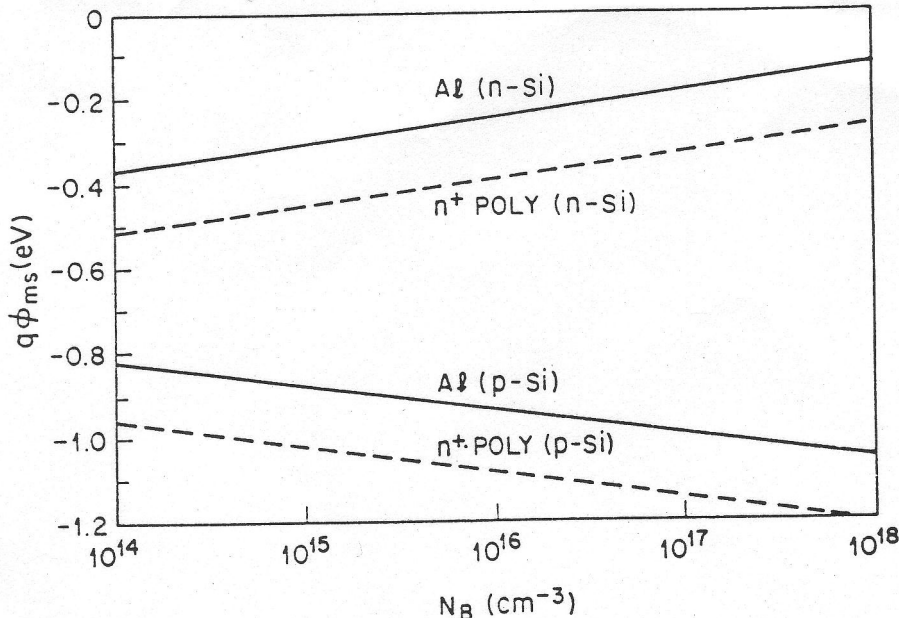
**Nagyfrekenciás viselkedés:**

A mérőjel gyorsasága miatt nincs töltéscsere a felületi inverziós réteg és az alatta lévő kiürített réteg közt!  $f \geq 1 \text{ MHz}$ . Csökkentve a mérőjel frekvenciáját a generáció-rekombináció a tértöltési tartományban csökkenti az inverziós töltést  $\Rightarrow$  árnyékoló hatás korlátozott,  $C_{min}$  nem konstans! Végül az erős inverziós kapacitás alacsony frekvencián az oxidkapacitással lesz egyenlő.

**Alacsonyfrekenciás  $C - V$  görbe**  $f < 100 \text{ Hz} \Rightarrow$  kvázistatikus

# A SiO<sub>2</sub> – Si MOS dióda

A kilépési munka különbség:



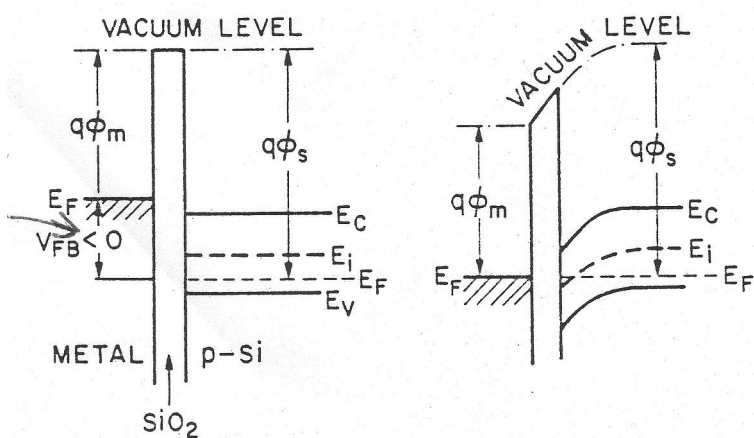
$$q\phi_{ms} = q\phi_m - q\phi_s$$

$$q\phi_{Al} = 4,1 \text{ eV}$$

$$q\phi_{n^+Si} = 3,95 \text{ eV}$$

Általában

$$q\phi_{ms} < 0 !$$



A MOS dióda sávdiagramja

A fém elektrodán pozitív töltés alakul ki



$$q\phi_{ms} < 0$$

kompenzálás

Síksáv állapot  
Flat-band állapot

MOS dioda termikus  
egyensúlyban

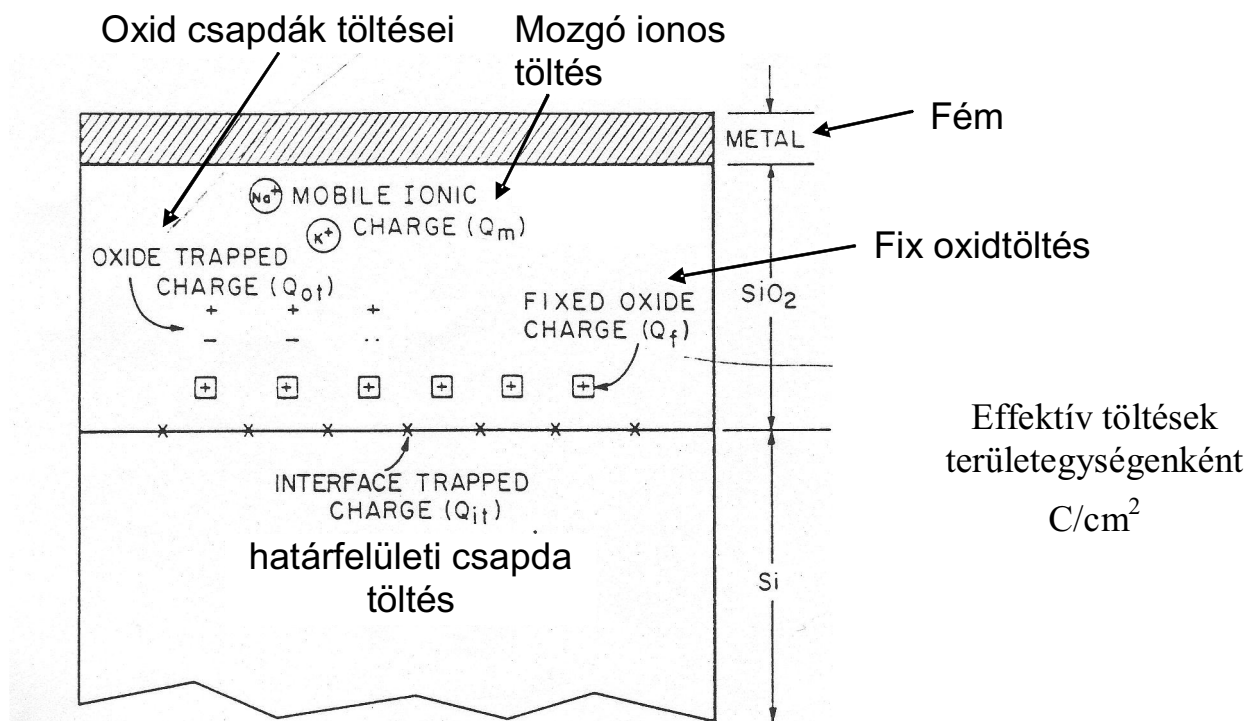
$$V_{FB} = \frac{q\phi_{ms}}{q} = \phi_m - \phi_s$$

sávelhajlás  $\Rightarrow$  lehajlás

flat-band voltage  
síksáv feszültség

!

# Határfelületi csapdák, töltések



**Határfelületi állapotok (csapdák) töltése:**  $Q_{it}$  – anizotrop

**Si orientációfüggő:**  $<100> < <111>$

Csökkenthető: technológiailag  $\Rightarrow \text{H}_2$  hőkezelés ( $450^\circ\text{C}$ )

$Q_{it} <100> : <10^{10} \text{ cm}^{-2}$  ( minden 100000-ik felületi atomon egy töltés)

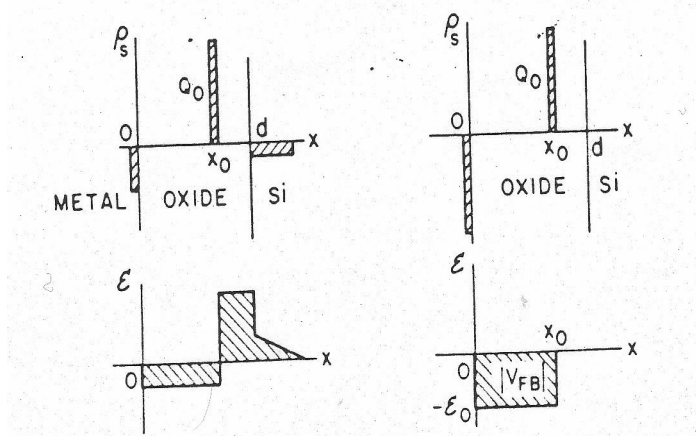
**Fixtöltés ( $Q_f$ ):** 30 Angström-ön belül a határfelületen

$Q_f \Rightarrow$  pozitív töltés – anizotrop, oxidálás és hőkezelés függő

**Mozgó ionos töltés ( $Q_m$ ):** alkáli ionok ( $\text{Na}^+$ ,  $\text{Li}^+$ )  $\Rightarrow C-V$  görbék eltolása a feszültség tengely mentén

$$V_G \approx 0 \quad \text{síksáv}$$

„Réteg töltés” hatása az oxidban:



Töltés sűrűség

Elektromos tér

# Határfelületi csapdák, töltések

**Síksáv állapothoz:** (negatív potenciál a fémen)

$$V_{FB} = -\mathcal{E}_o x_o = -\frac{Q_o}{\epsilon_{ox}} x_o = -\frac{Q_o}{C_o} \cdot \frac{x_o}{d}, \text{ ha } x_o = d$$

$Q_o$  - oxidréteg töltése

$$V_{FB} = -\frac{Q_o}{C_o} \cdot \left( \frac{d}{d} \right) = -\frac{Q_o}{C_o}$$

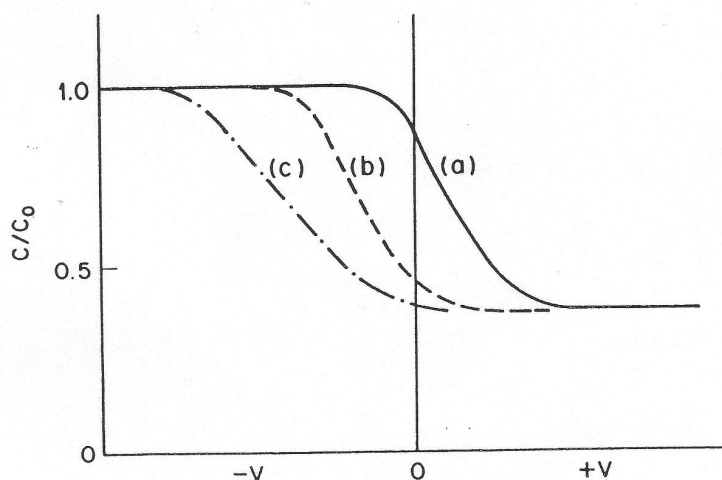
$x_o$  - a fém-oxid határfelülettől mért távolság

$$V_{FB} = -\frac{1}{C_o} \left( \frac{1}{d} \int_0^d x \rho(x) dx \right)$$

$x_o = 0$  -nál minimális;  
 $x_o = d$  -nél maximális  
 hatás a  $V_{FB}$  -re

$$V_{FB} = \phi_{ms} - \frac{Q_f + Q_m + Q_{ot}}{C_o}$$

$x_o = d$  -nél a  $Q_o$  töltés helyzete a  $Q_f$  töltésekhez és a félvezetőhöz közelíti

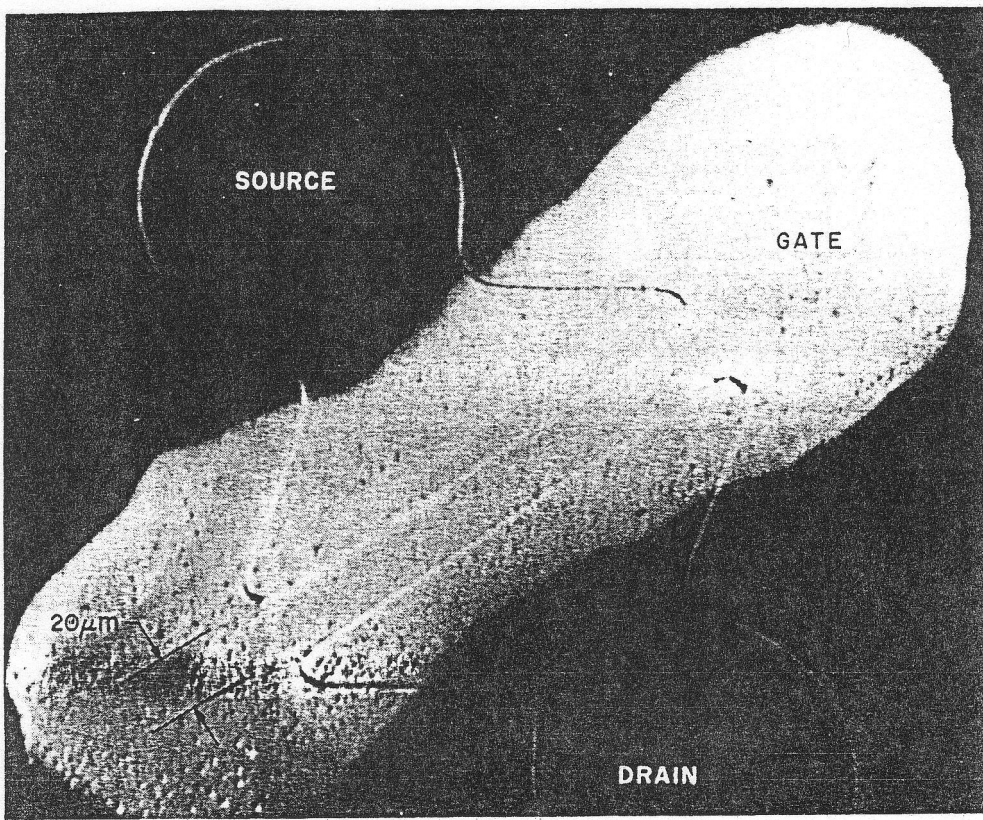


$\rho(x)$  - oxidtöltés sűrűség  
 $Q_{ot}$  - oxidcsapdák által befogott töltés

A fix oxidtöltés és a határfelületi csapdákban tárolt töltések hatása a  $C - V$  karakterisztikára

- (a) töltés mentes ideális görbe
- (b) mivel  $\phi_{ms}$ ,  $Q_f$ ,  $Q_m$ ,  $Q_{ot}$  nem egyenlő nullával  $\Rightarrow$  párhuzamos eltolódás negatív irányban
- (c) az interface, azaz határfelületi töltések a tiltott sávban inhomogén eloszlásúak  $\Rightarrow$  párhuzamos eltolódás helyett  $C - V$  görbe torzulás

**TECHNOLÓGIÁVAL** befolyásolhatjuk a csapda koncentrációt!



## Az első MOSFET:

>20 mm  
csatornahossz

>100 nm a gate  
oxidrétegének  
vastagsága

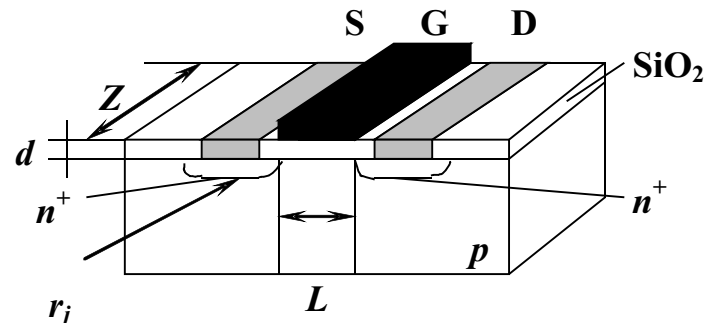
## Fém-oxid-félvezető térvézérlésű tranzisztor

$L$  - csatornahossz  
 $Z$  - csatornaszélesség  
 $r_j$  - S, D átmenet  
mélység  
 $d$  - oxid vastagság

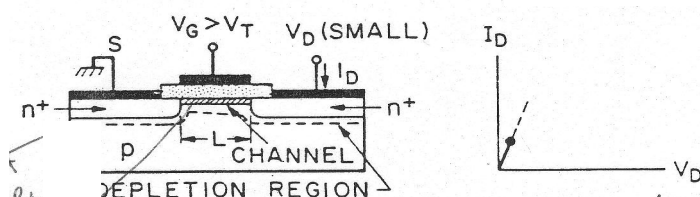
### Elektródák:

**S – forrás (Source);**  
**G – kapu (Gate);**  
**D – nyelő (Drain)**

## MOSFET



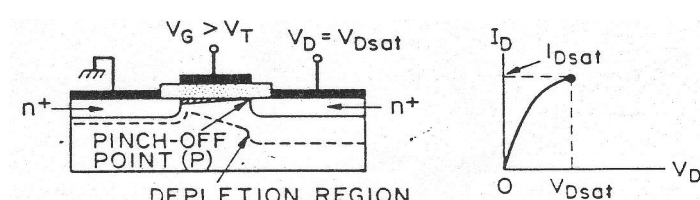
**Lineáris tartomány:**  
(kis drain feszültség  $V_D$ )



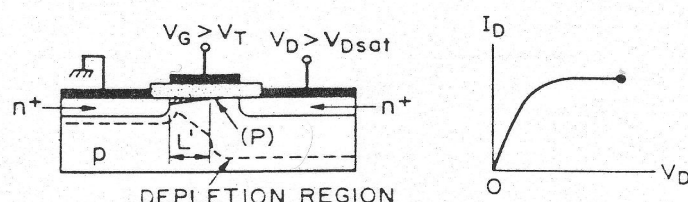
**A telítés kezdete ( $V_D = V_{Dsat}$ ):**

(b) (P pont, a csatoraelzáródás helye  
a drain oldalon)

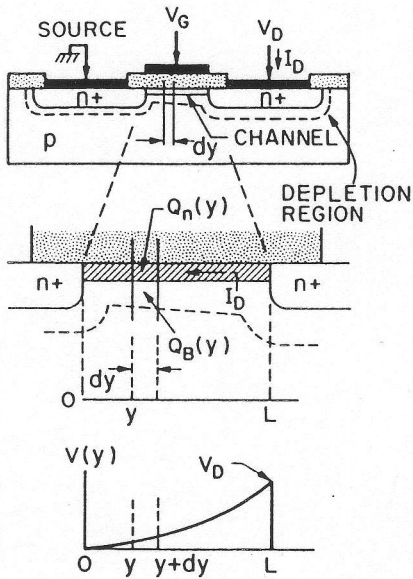
**A telítési tartomány ( $V_D > V_{Dsat}$ ):**  
A P pont a source felé tolódik el.



(c)



# MOSFET



**MOSFET a lineáris tartományban**

**A csatornatartomány metszete**

(Drain) – Feszültségeloszlás a csatorna mentén (hosszában vett metszeten)

A félvezetőben **indukált teljes töltés** (egységnyi területen)

$$Q_s(y) = -[V_G - \psi_s(y)]C_0,$$

ahol  $\psi_s(y)$  - **felületpotenciál**,  $C_o = \frac{\epsilon_{ox}}{d}$  **gate kapacitás** (egységnyi területen),  $y$  a **csatorna pont** (a sourcehoz való távolság)

$$Q_s(y) = Q_s(y) - Q_{sc}(y) = -[V_G - \psi_s(y)]C_0 - Q_{sc}(y)$$

Inverziós esetben:  $\psi_s(y) = 2\psi_B + V(y)$

**Kiürített réteg töltése:**

$$Q_{sc}(y) = -qN_A W_m \cong -\sqrt{2\epsilon_s q N_A (V(y) + 2\psi_B)}$$

$$Q_{sc}(y) \cong -(V_G - V(y) - 2\psi_B) C_o + \sqrt{2\epsilon_s q N_A (V(y) + 2\psi_B)}$$

**Csatorna vezetőképesség:**

$$\sigma(x) = qn(x)\mu_n(x)$$

$\mu_n = \text{const}$  esetén a **csatorna konduktancia**:

$$g = \frac{Z}{L} \int_0^{x_i} \sigma(x) dx = \frac{Z\mu_n}{L} \int_0^{x_i} qn(x) dx,$$

ahol  $x_i$  – inverziós csatorna vastagság.

# MOSFET

Teljes töltés az inverziós csatornában:  $|Q_n| = \int_0^{x_i} qn(x)dx$

A csatorna konduktancia:

$$g = \frac{Z\mu_n}{L} |Q_n|$$

A  $dy$  csatornaszegmens elemi ellenállása:

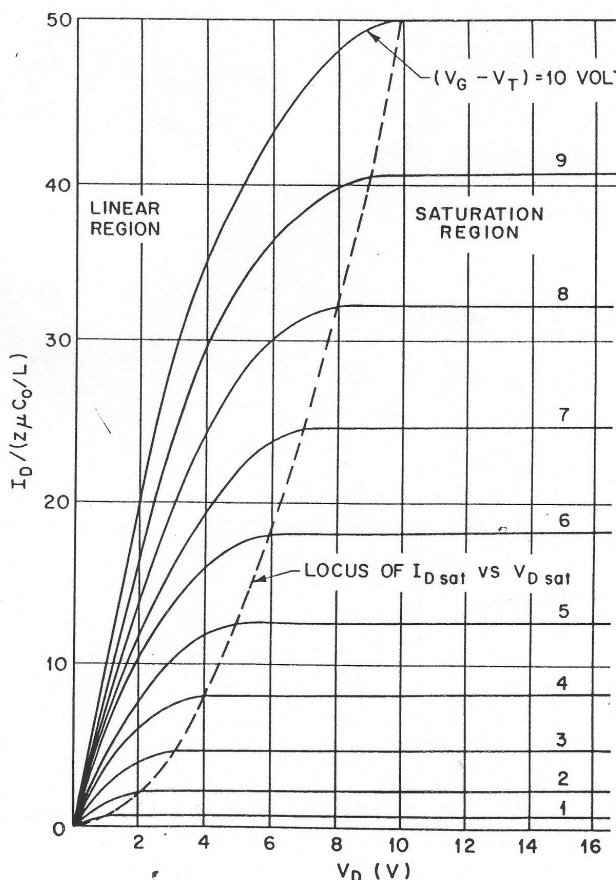
$$dR = \frac{dy}{gL} = \frac{dy}{Z\mu_n |Q_n(y)|}$$

Feszültségesés a  $dy$  elemi csatornaszegmens mentén:

$$dV = I_D dR = \frac{I_D dy}{Z\mu_n |Q_n(y)|},$$

ahol  $I_D$  - draináram. Integráljuk a felső egyenletet source-tól ( $y = L, V = 0$ ) drain-ig ( $y = L, V = V_D$ ):

$$I_D \approx \frac{Z}{L} \mu_n C_o \left\{ \left[ V_G - 2\psi_B - \frac{V_D}{2} \right] V_D - \frac{2}{3} \frac{\sqrt{2\varepsilon_s q N_A}}{C_o} \left[ (V_D + 2\psi_B)^{3/2} - (2\psi_B)^{3/2} \right] \right\}$$



**Idealizált MOSFET kimeneti karakterisztika serege.**

Lineáris tartomány:

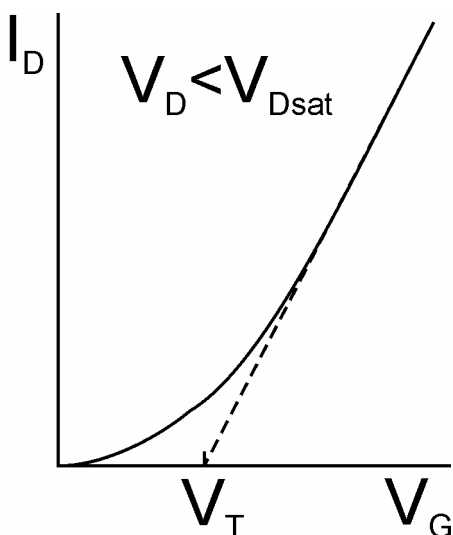
$$V_D \ll (V_G - V_T)$$

$$I_D \approx \frac{Z}{L} \mu_m C_o (V_G - V_T) Y_D$$

Küszöbfeszültség:

$$V_T \cong \frac{\sqrt{2\varepsilon_s q N_A (2\psi_B)}}{C_o} + 2\psi_B$$

# Küszöbfeszültség meghatározása (MOSFET)



Lineáris bemeneti karakterisztika

**Csatornakonduktancia:**

$$g_D \equiv \left. \frac{\partial I_D}{\partial V_D} \right|_{V_G=const} \cong \frac{Z}{L} \mu_n C_o (V_G - V_T)$$

**Transzkonduktancia:**

$$g_m \equiv \left. \frac{\partial I_D}{\partial V_G} \right|_{V_D=const} \cong \frac{Z}{L} \mu_n C_o V_D$$

$y = L$ -nél  $Q_n(y) = 0$ . A drain-nél bekövetkezik a csatorna elzáródás. Ebben a pontban elkezdődik a telítés: a telítési feszültség és áram értéke  $V_{Dsat}$ , illetve  $I_{Dsat}$ .

$$V_{Dsat} \cong V_G - 2\psi_B + K^2 \left( -\sqrt{1 + 2V_G/K^2} \right)$$

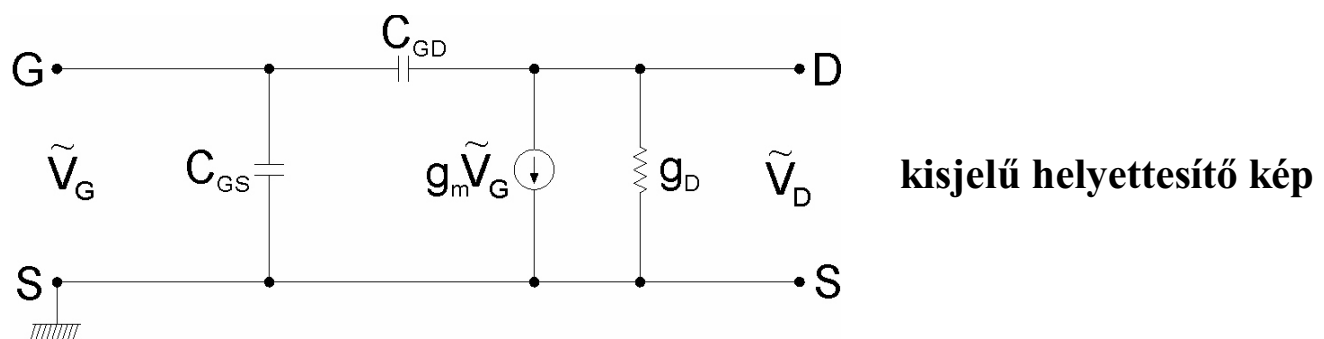
ahol  $K \equiv \sqrt{\varepsilon_s q N_A} / C_o$ .

$$I_{Dsat} \cong \frac{Z\mu_n \varepsilon_{ox}}{2dL} (V_G - V_T)^2$$

A telítési tartományban a **csatornakonduktancia**  $g_D = 0$ , a

**transzkonduktancia** pedig:  $g_m \equiv \left. \frac{\partial I_D}{\partial V_G} \right|_{V_D=const} = \frac{Z\mu_n \varepsilon_{ox}}{dL} (V_G - V_T)$ .

**A MOSFET ekvivalens áramköre:**



# MOSFET váltakozóáramú viselkedése

**Bemeneti áram:**

$$\tilde{i}_{in} = j\omega (C_{GS} + C_{GD}) \tilde{v}_G \cong j\omega (C_0 ZL) \tilde{v}_G$$

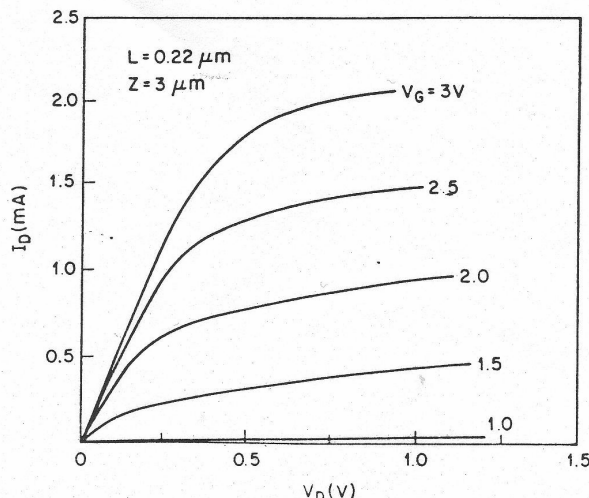
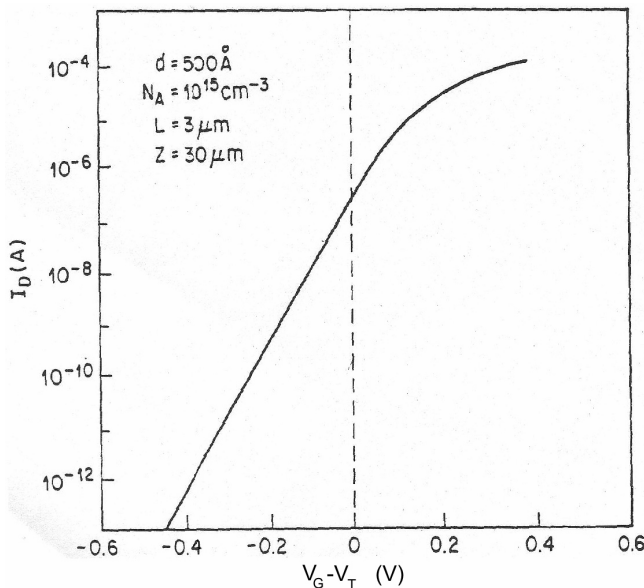
**Kimeneti áram:**

$$\tilde{i}_{out} = g_m \cdot \tilde{v}_G$$

**Levágási frekvencia**  $A_{(i)} = \tilde{i}_{out}/\tilde{i}_{in} = 1$  áramerősítésnél, illetve  $V_D \leq V_{Dsat}$ -nél

$$f_T = \frac{g_m}{2\pi \cdot C_{in}} = \frac{\mu_n V_D}{2\pi \cdot L^2}$$

**Küszöb(feszültség) alatti áram:**  $I_D \sim \exp\left(\frac{q(V_G - V_T)}{kT}\right)$



$V_G < V_T$  esetén

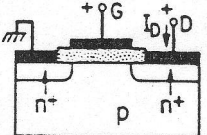
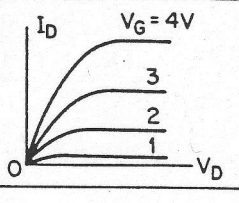
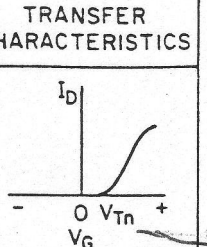
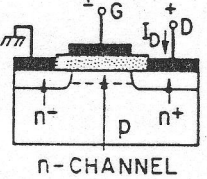
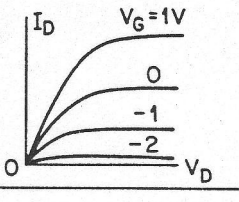
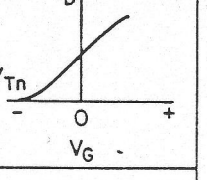
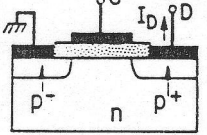
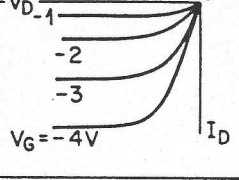
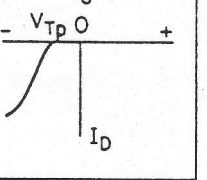
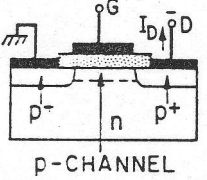
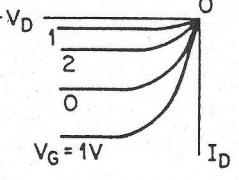
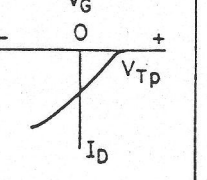
$I_D$  exponenciális függése

$V_G - V_T$ -től

Mértékcsökkenés  
(méretcsökkenés) hatása MOS tranzisztor viselkedésére:

- átszúráthatás ( $W_S + W_D = L$ )
- töltéshordozó mozgékony-ság csökkenés
- küszöb alatti vezetés
- telítés nem ideális
- letörések csökkenek
- szivárgások (Gate is!!) nőnek
- elektromos terek nőnek

# MOSFET típusok

TYPE	CROSS SECTION	OUTPUT CHARACTERISTICS	TRANSFER CHARACTERISTICS
n-CHANNEL ENHANCEMENT (NORMALLY OFF)			
n-CHANNEL DEPLETION (NORMALLY ON)	 n-CHANNEL		
p-CHANNEL ENHANCEMENT (NORMALLY OFF)			
p-CHANNEL DEPLETION (NORMALLY ON)	 p-CHANNEL		

**Jellemző tranzisztor paraméterek az arányos  
mérték (méret) csökkenés során**

Table 1 MOSFET Miniaturization

Channel Length ( $\mu\text{m}$ )	Junction Depth ( $\mu\text{m}$ )	$V_D$ (V)	$V_T$ (V)	Gate Oxide ( $\text{\AA}$ )
0.75	0.30	5.0	1.0	400
0.5	0.20	4.0	0.7	250
0.25	0.10	2.5	0.5	160
0.1	0.05	1.0	0.2	100